

一种新的 SOI 制备技术： H⁺ 离子注入、键合和分离

竺士扬¹ 张 苗² 林成鲁² 黄宜平¹ 吴东平¹ 李金华³

(1 复旦大学电子工程系 上海 200433)

(2 中国科学院上海冶金研究所信息功能材料国家重点实验室 上海 200050)

(3 江苏石油化工学院 常州 213016)

摘要 H⁺离子注入 Si 片并经一定条件退火,可在 Si 片中形成埋层微空腔(microcavity)层,结合 Si 片键合技术,用智能剥离(Smart-cut)技术成功地制备了 Unibond-SOI 材料,并用扩展电阻(SRP)、卢瑟福背散射(RBS/C)和剖面透射电子显微镜(XTEM)等初步分析了其结构和电学性质.

PACC: 7340T, 6170T, 8140E

1 引言

SOI(Silicon-On-Insulator)技术由于其突出的优点,在深亚微米 ULSI、低压低功耗电路和军用抗辐照电路等方面具有重要的应用.在目前众多的 SOI 制备技术中,注氧隔离的 SIMOX(Separation by Implanted Oxygen)技术和键合加背面减薄的 BESOI(Bonding and Etchback SOI)技术是主导技术,但 SIMOX 技术需要注 O⁺专用注入机进行高剂量的 O⁺离子注入和长时间的高温退火($\geq 1300^{\circ}\text{C}$),价格昂贵,而顶层 Si 膜和埋层 SiO₂ 的质量尚不如体单晶 Si 和热生长 SiO₂; BESOI 技术的背面均匀减薄是一个困难的工艺,顶层 Si 膜厚度 1 μm 以下的均匀减薄将使工艺复杂化并影响其质量^[1].利用 H⁺或 He⁺离子注入 Si 片后,在一定退火条件下形成埋层微空腔或使 Si 片表面部分剥离的现象, M. Bruel 等提出的 Smart-cut 技术^[2,3]具有 SIMOX 和 BESOI 技术的优点而克服了两者的不足,是一种较为理想的 SOI 制备技术.本文用 Smart-cut 技术成功地研制了 Unibond-SOI 材料,并对其结构和电学性质进行了初步分析.

2 Smart-cut 技术原理^[2, 3]

图 1 给出了 Smart-cut 技术制备 Unibond-SOI 材料的示意图,共分 4 步:

竺士扬 男,1969年生,博士,主要研究方向为 SOI 材料制备、质量表征、器件工艺和辐照效应等
1996年6月10日收到初稿,1996年11月22日收到修改稿

步骤 1: Si 片 A(光片或表面有 SiO₂)的 H⁺ 离子注入, 剂量 $2 \times 10^{16} \sim 1 \times 10^{17} \text{cm}^{-2}$;

步骤 2: Si 片 A 和 Si 片 B(光片或表面有 SiO₂)低温键合;

步骤 3: 键合片热处理(400 ~ 600℃), 使 Si 片 A 在 H 原子分布峰值处分离(Smart-cut), 其中一薄层单晶 Si 同 Si 片 B 键合形成 SOI 结构(Unibond-SOI), Si 片 A 可再次使用;

步骤 4: 高温退火(+抛光), 对 Unibond-SOI 高温退火($\geq 900^\circ\text{C}$), 增强键合强度和恢复顶层 Si 中由于 H⁺ 离子注入引起的损伤, 为改进表面均匀性, 可用化学机械抛光(CMP).

从上面的步骤可以得出 Smart-cut 技术如下优点:

- (1) H⁺ 离子注入剂量为 10^{16}cm^{-2} 量级, 比 SIMOX 下降约 2 个数量级, 可在普通离子注入机上完成;
- (2) 顶层 Si 厚度可由注入能量控制, 而且均匀性好, 解决了 BESOI 的背面均匀减薄难点;
- (3) 埋层是高质量的热 SiO₂, Si/SiO₂ 界面质量好;
- (4) 一片 Si 片制备一片 SOI 片, 材料成本比 BESOI 少一半.

3 实验

电阻率为 $20 \sim 35 \Omega \cdot \text{cm}$, 厚度为 $350 \pm 10 \mu\text{m}$ 的 P 型(100)Φ75mm 器件级 CZ Si 片, 经清洗后在室温下注入能量为 140keV, 剂量为 $5 \times 10^{16} \text{cm}^{-2}$ 的 H⁺ 离子. 另一片为电阻率为 $5 \sim 8 \Omega \cdot \text{cm}$ 的 N 型(100)器件级 CZ Si 片, 表面热生长 $0.5 \mu\text{m}$ 的 SiO₂, 作亲水处理后, 在超净线上作低温直接键合(键合温度约为 300°C , 10 小时), 键合对用红外影像仪检测后, 在 600°C 左右的高纯 N₂ 中热处理, 使键合对分离形成 SOI 结构, 然后在高纯 N₂ 中 900°C 退火 30min. 样品分成小片作各种测试.

4 结果与讨论

4.1 H⁺ 离子注入并退火在 Si 中形成埋层微空腔层

图 2(a)(见图版 I)给出了 Si 中埋层微空腔层的光学显微镜照片(放大 250 倍), 样品是 170keV, $5 \times 10^{16} \text{cm}^{-2}$ 的 H⁺ 离子室温下注入到表面有 $0.5 \mu\text{m}$ SiO₂ 的 N 型(100)Si 片, 在高纯 N₂ 气中 400°C 退火 210min, 样品表面磨成约 0.01 弧度的斜面. 由图可见在表面下约 $1.5 \mu\text{m}$ 处存在埋层微空腔层, TRIM94 计算得出 170keV H⁺ 注入 SiO₂/Si 样品的平均投影射程约为 $1.5 \mu\text{m}$, 因此是在 H 原子分布的峰值处形成了微空腔层, 当退火温度升高或退火

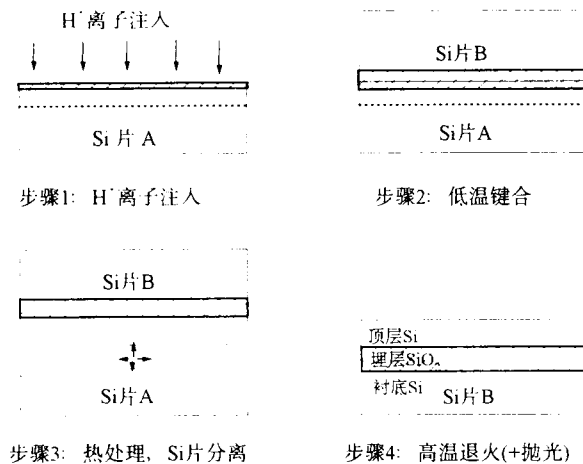


图 1 用 Smart-cut 技术制备 Unibond-SOI 的原理示意图

时间延长时,微空腔向表面伸延,可使部分 Si 片表面剥离,图 2(b)(见图版 I)为样品经

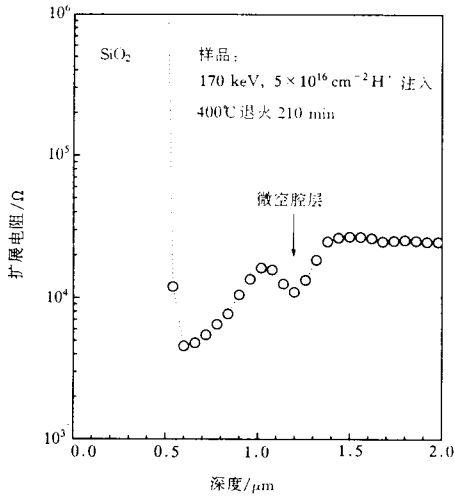


图 3 经 400°C, 210min 退火样品的扩展电阻深度分布

900°C退火 15min 后的表面光学显微镜照片(放大 250 倍),可见表面有不规则分布的基本成方型的 Si 片剥离,其长度约为 100μm 量级,用 α -Step 200 台阶仪测得其台阶深度为 1.5μm,同埋层微空腔层的深度相符.图 3 为 400°C退火样品的扩展电阻深度分布,由于 H⁺离子注入,使样品顶层的扩展电阻值减小,在埋层微空腔处扩展电阻有一个极小值,这可能是由于注入引起的缺陷参与导电而使电阻率下降^[4, 5].

4.2 Unibond-SOI 材料特性

图 4(a)是剥离后形成 SOI 结构(高温退火前)样品的 XTEM 照片,(b)为顶层 Si 的选区电子衍射图(见图版 I). 140keV 的 H⁺离子注入 Si 的平均投影射程为 1.19μm,同图中所示顶层 Si 的厚度相符. XTEM 照片表明样品具有很好的 Si/SiO₂ 界面,而且顶层 Si 中没有可观察到的缺陷,虽然未经抛光,表面起伏在 20nm 以下.但由于 H⁺离子注入引起的损伤使顶层 Si 的电子衍射图出现微弱的多晶环^[6],进一步的高温退火可使其单晶性得到改善.图 5(见图版 I)给出的样品高温退火前后的卢瑟福背散射沟道谱证实了这一点,高温退火前顶层 Si 的背散射沟道最低产额 $\chi_{\min} = 24\%$,经 900°C 半小时退火, χ_{\min} 下降到 8%,表明退火已基本恢复了 H⁺离子注入引起的损伤.

图 6(见图版 I)是 Unibond-SOI 材料的扩展电阻深度分布,具有陡峭的 Si/SiO₂ 界面,内插图为被剥离 Si 片(Si 片 A)的扩展电阻深度分布,电阻值基本不变,因此 Si 片 A 可以再次利用,SOI 样品的顶层 Si 的扩展电阻比 Si 片 A 低,说明 H⁺注入引入的缺陷使 Si 的电阻率下降,这同图 3 的结果相符.

4 结论

用 Smart-cut 技术可以制备高质量的 SOI 材料,具有缺陷少、顶层 Si 厚度均匀、Si/SiO₂ 界面好等优点,并且可以在标准集成电路工艺的常规设备上制备,因此是一种有前途的 SOI 制备技术.本文仅给出了初步的结果,关于 Si 中 H 的行为、微空腔的形成机理、对顶层 Si 的影响和如何提高低温键合质量等许多问题,正在进一步研究中.

参 考 文 献

- [1] A. J. Auberton-Herve, J. M. Lamure, T. Barge, *et al.*, *Semicond. Int.*, 1996; 97~104.
- [2] M. Bruel, *Electron. Lett.*, 1995, **13**(14): 1201~1202.
- [3] C. Maleville, B. Aspar, T. Poumeyrol *et al.*, *Proc. of 7th Inter. Symp. on Silicon-On-Insulator Technology and Devices*, Ed. by P. L. F. Hemment, The Electrochemical Society, 1996, **96-3**: 34~46.
- [4] C. H. Seager, S. M. Myers, R. A. Anderson *et al.*, *Phys. Rev.*, B, 1994, **50**(4): 2458~2473.

- [5] Joachim Hartung and J. Weber, *Phys. Rev. , B*, 1993, **48**(19): 14161~14166.
[6] J. Keinonen, M. Hautala, E. Rauhala *et al. , Phys. Rev. , B*, 1988, **37**(4): 8269~8276.

Novel SOI Technology: H⁺ Implantation, Bonding and Separation

Zhu Shiyang¹, Zhang Miao², Lin Chenglu², Huang Yiping¹,
Wu Dongping¹ and Li Jinhua³

(1 *Department of Electronic Engineering, Fudan University, Shanghai 200433*)

(2 *State Key Laboratory of Functional Materials for Informatics, Shanghai Institute of Metallurgy,
The Chinese Academy of Sciences, Shanghai 200050*)

(3 *Jiangsu Institute of Petrochemical Technology, Changzhou 213016*)

Received 10 June 1996, revised manuscript received 22 November 1996

Abstract The buried microcavity layer can be formed when silicon implanted with H⁺ ion is annealed at suitable condition. With silicon wafer bonding technology, the Unibond-SOI materials have been successfully fabricated by Smart-cut process. The structural and electrical properties are preliminary analyzed by spreading resistance probe (SRP), Rutherford backscattering spectrometry and channeling (RBS/C) and cross-section transmission electron microscopy (XTEM).

PACC: 7340T, 6170T, 8140E